

## 軸方向衝撃をうける円柱の逐次破壊解析

徳山工業高等 正員 ○工藤 洋三  
山口大学工学部 正員 中川 浩二

### 1. はじめに

応力波をうける岩質材料の動的応答や破壊についての解説を明らかにすることは、近年ますます重要になりつつある。本研究は、軸方向衝撃に対する有限要素法を応力波伝播解析さらに破壊解析へ適用する際の精度と実用性を開拓する基礎的研究を得ることを目的としている。このため円柱モデルの長軸方向に衝撃荷重を与え、材料に簡便な破壊条件を与えることにより、逐次破壊解析を行った。

### 2. 解析方法

本研究では、材料が破壊にいたる直前まで弾性的な性質を有していると仮定している。離散化された領域の各要素の運動方程式は次式によると考えられる。

$$[M]\{f\} + [K]\{u\} = \{F\} \quad (1)$$

ここで  $[M]$ ,  $[K]$  はそれぞれ質量マトリックス、剛性マトリックスである。 $\{f\}$ ,  $\{u\}$ ,  $\{F\}$  はそれぞれ加速度、変位、外力のベクトルである。式(1)の直交常微分方程式を逐次積分することによって変位が求められ、これより応力が得られる。質量マトリックスは分布質量マトリックスを用い、逐次積分法では、Newmark の  $\beta$  法によりて、 $\beta = 1/6$ ,  $\alpha = 0.5$  として計算する。

応力波による破壊の過程を数値解析によって解く場合、動的破壊条件が実験的、理論的に確立していないこと、破壊後のクラックの成長過程が複雑で慣性効果を考慮しなければならないこと、および破壊後の新しい要素特性の決定が困難であることなどが問題が生じてくる。本研究では、破壊条件については図-1に示すように、軸対称三角形要素の重心点における引張応力を一定値に達した段階でクラックが生じると考えた。また慣性効果については、上の基準に達した段階で要素の特性を変化させず、次の時間ステップで変化させることで近似できとした。破壊後の要素の特性については、横層異性要素の弹性定数マトリックスを考え、最大引張応力方向に垂直な断面の剛性を零として、これを全体座標系における弹性定数マトリックスに変換し、剛性マトリックスを修正した。

### 3. 解析例および解析条件

逐次破壊解析に用いた円柱モデルを図-2に示す。要素は底面、高さともに 1cm の直角三角形要素である。外力の時間的な形状は破壊の条件に直接受影響をおぼす重要な因子であるが、本研究では図-3に示すようなベル形荷重を  $T = 10 \mu\text{sec}$  として用いた。臨界応力は最大入射荷重の 4% として計算する。材料定数は、弹性係数を  $3 \times 10^5 \text{ kN/cm}^2$ 、ボアソン比 0.2、密度  $2.2 \text{ g/cm}^3$  とした。解析に用いた時間間隔はすべて  $1 \mu\text{sec}$  である。

### 4. 解析結果および検討

一次元の波動伝播が假定できることから、小規模モデルを用いて有限軸対称要素の精度を検討した。結果を図-4に示す。また破壊条件を与えて解析したモデル II の波動伝播状態を図-5に示す。集中載荷があるため、載荷点附近に大きな応力を生

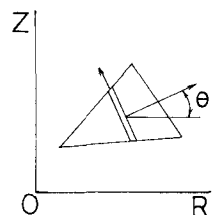


図1 クラックのモデル化

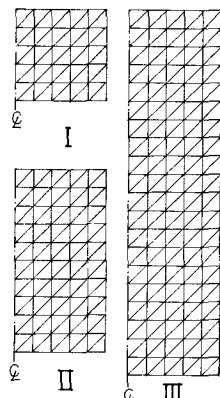


図2 モデル形状

いてあり、また底面からの反射による底面附近に引張応力が生じている。

次に破壊条件を考慮した場合のクラックの生成場所と方向を図6に示す。これより載荷点付近と載荷点から底面に向けるの長軸方向、および底面附近における反射引張波によると考えられるクラックの生成が著しいことがわかる。

図8は、Kolskyらか円筒形試験体の上面中央に火薬によく衝撃を加えて得た実験結果を模式的に示したものである。Kolskyらはこれを、1)載荷点附近における圧縮衝撃による破壊域(斜線部)、2)側壁からの反射による破壊域(S, T)、3)側壁からの反射引張波の重なり合いによる破壊域(PC)、4)底面と側壁からの反射波の重なり合いによる破壊域(L, M)、5)底面からの反射引張波による破壊域(KH)に分類して説明している。本研究における解析結果は、これらの実験結果の3)および5)をうまく説明しており、外力の形状や破壊条件のよりよい近似によることで、他の部分についても解析可能であると考えられる。

#### 〈参考文献〉

- 1) O.C. Zienkiewicz (吉田・山田監訳): マトリックス有限要素法, 増風館 (1975)
- 2) H. Kolsky and D. Rader, Stress Waves and Fracture, in "Fracture II"; H. Liebowitz (Ed.), Academic Press, (1968), pp.533~569.

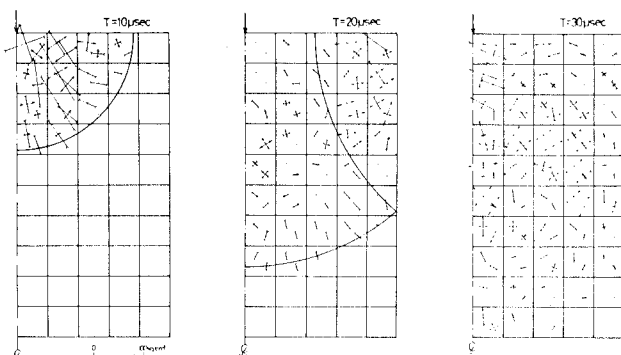


図5 広力波伝播状況(Model II)

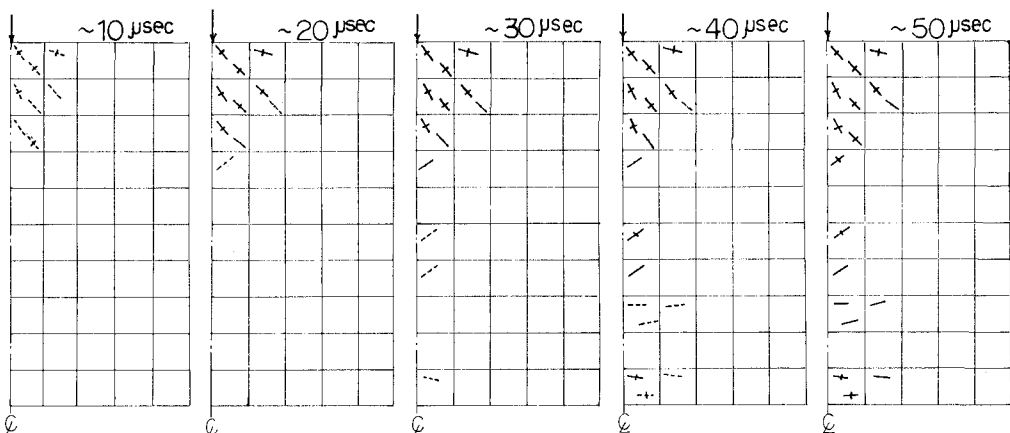


図6 逐次破壊解析例(Model II)

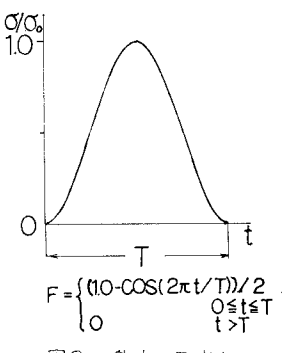


図3 外力の形状

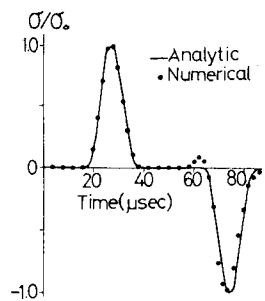


図4 棒モデル解析例

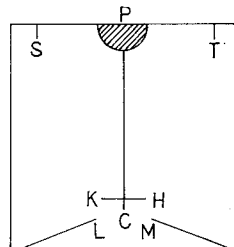


図7 実験結果(Kolsky)